

## **SOQUEM intercepte de nouvelles hautes teneurs d'argent, de zinc et de cuivre au projet B26**

VAL-D'OR, 10 octobre 2017. SOQUEM, une filiale de Ressources Québec, est heureuse d'annoncer les résultats d'une campagne de forage complétée au printemps 2017 sur le gîte de sulfures massifs volcanogènes à Zn-Cu-Au-Ag de son projet B26, situé 90 km à l'ouest de Matagami au Québec.

Un programme de forage visant à explorer et mieux définir le gîte B26 a été réalisé entre janvier et avril 2017. Au total, de 11 108 m ont été forés dans 18 sondages et trois cointages. De ceux-ci, six forages et un cointage ont dû être abandonnés pour déviation excessive.

Les meilleures intersections incluent :

8,26 % Cu et 10,41 g/t Au sur 1,13 m en épaisseur vraie (1274-17-245);  
12,38 % Zn et 49,5 g/t Ag sur 0,90 m en épaisseur vraie (1274-17-245);  
2,14 % Cu et 0,88 g/t Au sur 3,20 m en épaisseur vraie (1274-17-246);  
10,84 % Cu, 0,96 g/t Au et 36,7 g/t Ag sur 1,76 m en épaisseur vraie (1274-17-248);  
10,82 % Zn et 298,8 g/t Ag sur 0,93 m en épaisseur vraie (1274-17-249);  
6,03 % Zn, 0,51 % Cu et 224,3 g/t Ag sur 7,97 m en épaisseur vraie (1274-17-250);  
14,97 % Zn et 237,1 g/t Ag sur 1,79 m en épaisseur vraie (1274-17-255W1.1);  
4,97 % Cu et 0,57 g/t Au sur 1,13 m en épaisseur vraie (1274-17-259);  
11,11 % Zn et 120,7 g/t Ag sur 3,65 m en épaisseur vraie (1274-17-259).

Deux (2) principaux types de minéralisation caractérisent le gîte B26, soit la portion nord du système minéralisé interprétée comme la cheminée d'altération riche en cuivre et localement en or, caractérisée par des veines et veinules de chalcopryrite encaissées dans des rhyolites séricitisées et chloritisées. La portion sud du système, riche en zinc et en argent, contient surtout de la sphalérite, de la pyrite et de la galène, variant de disséminées à massives, encaissées dans des horizons de rhyolite aphyrique et de chert. Les deux zones sont parallèles et la stratigraphie est généralement orientée est-ouest et pente à 87° vers le sud.

Le tableau 1 montre les résultats d'analyses complets et les données techniques sont présentées au tableau 2. Une carte de localisation montre la position des forages en surface et deux sections longitudinales (zone d'altération riche en cuivre et zone exhalative zincifère) illustrent les points de percée des forages en relation avec les forages précédents.

« Le projet B26 continue de livrer les résultats espérés. La compréhension géologique du système minéralisé s'est grandement améliorée et le prochain programme de forage bénéficiera de cette compréhension » explique Olivier Grondin, président-directeur général de SOQUEM.

Un second programme de forage utilisant trois foreuses a débuté en juillet et s'est terminé au mois de septembre 2017. Les résultats sont en attente. Une nouvelle estimation des ressources a aussi été entreprise afin de mieux refléter les hautes teneurs du système minéralisé volcanogène. Les résultats de l'estimation des ressources sont prévus pour le premier trimestre 2018.

Stéphane Poitras, géo., directeur adjoint de SOQUEM, est une personne qualifiée au titre de la norme canadienne 43-101 et a examiné et approuvé les renseignements scientifiques et techniques du présent communiqué.

*Des protocoles stricts d'AQ/CQ ont été implantés dans le cadre du projet B26, y compris l'insertion d'échantillons de matériel de référence certifié (standards) et de blancs de méthode.*

*Un total de 3 899 échantillons de demi-carottes de forages a été envoyé pour analyse au laboratoire ALS de Val-d'Or. Les échantillons ont été pesés, broyés et pulvérisés (code ALS Prep-31) puis analysés pour les éléments suivants : Ag, Al, As, Au, Ba, Be, Bi, Ca, Cd, Co, Cr, Cu, Fe, Ga, K, La, Mg, Mn, Mo, Na, Ni, P, Pb, S, Sb, Sc, Sr, Th, Ti, Tl, U, V, W et Zn. Pour l'Au, 30 g de l'échantillon est analysé par pyroanalyse qui consiste à une fusion de l'échantillon suivi d'une analyse par absorption atomique (code ALS Au AA23). Les teneurs comprises entre 0,5 et 2 g/t Au sont reprises par pyroanalyse avec finition par absorption atomique alors que les teneurs supérieures à 2 g/t sont reprises avec finition gravimétrique (code ALS Au-GRA21). Pour les autres éléments, les échantillons subissent une digestion par quatre (4) acides (HF-HNO<sub>3</sub>-HCl-HClO<sub>4</sub>) et sont ensuite analysés par spectroscopie d'émission à plasma couplée par induction (ICP-MS; code ALS ME-ICP61). Pour des teneurs supérieures à 100 ppm Ag ou 10 000 ppm pour le Cu, le Pb et le Zn, l'analyse est reprise avec dissolution quatre (4) acides et analysé par spectrométrie à émission optique couplée (ICP-OES; code ALS ME-OG62). Lorsque les teneurs en dépassent 1 500 ppm Ag, un échantillon de 30 g de ce dernier est analysé par pyroanalyse suivi d'une finition par gravimétrie (code ALS Ag-GRA21).*

À propos de SOQUEM

SOQUEM, filiale de Ressources Québec, est un acteur de premier plan dans l'exploration minière au Québec. SOQUEM a pour mission de favoriser l'exploration, la découverte et la mise en valeur des ressources minérales du Québec. Elle a participé à plus de 350 projets d'exploration et pris part à d'importantes découvertes d'or, de diamants, de lithium et de plusieurs autres minéraux.

Olivier Grondin  
Président-directeur général  
819 874-3773  
[soquem.abitibi@soquem.qc.ca](mailto:soquem.abitibi@soquem.qc.ca)  
soquem.qc.ca

Tableau 1 : Intersections des forages janvier à avril 2017

Numéro de trou	De (m)	À (m)	Long. Carotte (m)	Épaisseur vraie estimée* (m)	Cu (%)**	Zn (%)**	Au (g/t)**	Ag (g/t)**	Zone
1274-17-242	703,40	711,00	7,60	5,80	1,68	0,01	1,29	2,9	Cuivre
<i>incluant</i>	705,75	707,33	1,58	1,20	4,35	0,01	0,53	6,8	Cuivre
1274-17-243	1140,00	1141,50	1,50	1,01	0,41	0,00	0,14	5,8	Cuivre
1274-17-245	860,10	866,00	5,90	3,53	3,72	0,01	5,46	7,9	Cuivre
<i>incluant</i>	860,10	862,00	1,90	1,13	8,26	0,02	10,41	14,0	Cuivre
1274-17-245	937,75	938,10	0,35	0,22	0,25	23,40	0,34	50,4	Zinc
1274-17-245	995,10	996,45	1,35	0,90	0,02	12,38	0,01	49,5	Zinc
1274-17-246	226,50	234,00	7,50	3,20	2,14	0,03	0,88	4,6	Cuivre
1274-17-246	365,10	365,50	0,40	0,19	1,85	22,85	0,94	116,5	Zinc
1274-17-248	991,50	996,00	4,50	3,68	5,75	0,03	0,56	19,4	Cuivre
<i>incluant</i>	992,70	994,85	2,15	1,76	10,84	0,05	0,96	36,7	Cuivre
1274-17-249	430,50	434,00	3,50	1,46	2,56	0,60	0,48	93,4	Cuivre
1274-17-249	498,50	500,70	2,20	0,93	0,01	10,82	0,26	298,8	Zinc
1274-17-250	189,90	194,15	4,25	2,62	1,53	0,01	0,07	3,8	Cuivre
1274-17-250	284,75	297,00	12,25	7,97	0,51	6,03	0,01	224,3	Zinc
<i>incluant</i>	291,55	294,70	3,15	2,05	0,50	11,77	0,02	577,2	Zinc
1274-17-251	358,80	359,50	0,70	0,47	3,85	0,13	0,55	23,9	Cuivre
1274-17-252	331,85	334,40	2,55	1,21	5,63	0,06	4,16	22,6	Cuivre
1274-17-252	382,90	388,80	5,90	2,84	1,20	2,84	0,17	83,3	Zinc
<i>incluant</i>	387,23	388,80	1,57	0,75	0,86	9,38	0,34	96,4	Zinc
1274-17-255	715,50	717,00	1,50	0,75	1,85	0,08	1,01	12,6	Cuivre
1274-17-255	791,70	792,28	0,58	0,31	0,11	41,74	0,70	49,7	Zinc
1274-17-255W1.1	658,50	663,00	4,50	2,76	0,40	0,01	0,20	1,5	Cuivre
1274-17-255W1.1	743,50	751,00	7,50	5,38	0,06	5,46	0,07	100,6	Zinc
<i>incluant</i>	743,50	746,00	2,50	1,79	0,09	14,97	0,15	237,1	Zinc
1274-17-256	Aucune valeur significative								
1274-17-257	102,00	102,80	0,80	0,30	3,23	0,05	0,18	6,2	Cuivre
1274-17-258	103,50	106,50	3,00	1,28	0,04	0,03	1,96	0,3	n/d
1274-17-258	114,90	121,70	6,80	2,97	2,25	0,04	0,29	4,9	Cuivre
1274-17-258	131,50	138,70	7,20	3,22	2,59	0,02	0,68	7,4	Cuivre
1274-17-259	124,50	161,10	36,60	13,41	1,12	0,01	0,10	2,6	Cuivre
<i>incluant</i>	138,30	141,40	3,10	1,13	4,97	0,02	0,57	13,5	Cuivre
1274-17-259	261,40	274,60	13,20	5,33	1,47	0,02	0,28	3,3	Cuivre
<i>incluant</i>	267,00	274,20	7,20	2,91	2,16	0,02	0,42	4,5	Cuivre
1274-17-259	447,60	456,00	8,40	3,65	0,39	11,11	0,03	120,7	Zinc
<i>incluant</i>	451,85	455,15	3,30	1,44	0,37	21,96	0,04	125,3	Zinc

\*Épaisseur vraie estimée selon le pendage de la zone zincifère et de la stratigraphie. Les veines et veinules cuprifères forment généralement des enveloppes concordantes à la stratigraphie mais peuvent également la recouper.

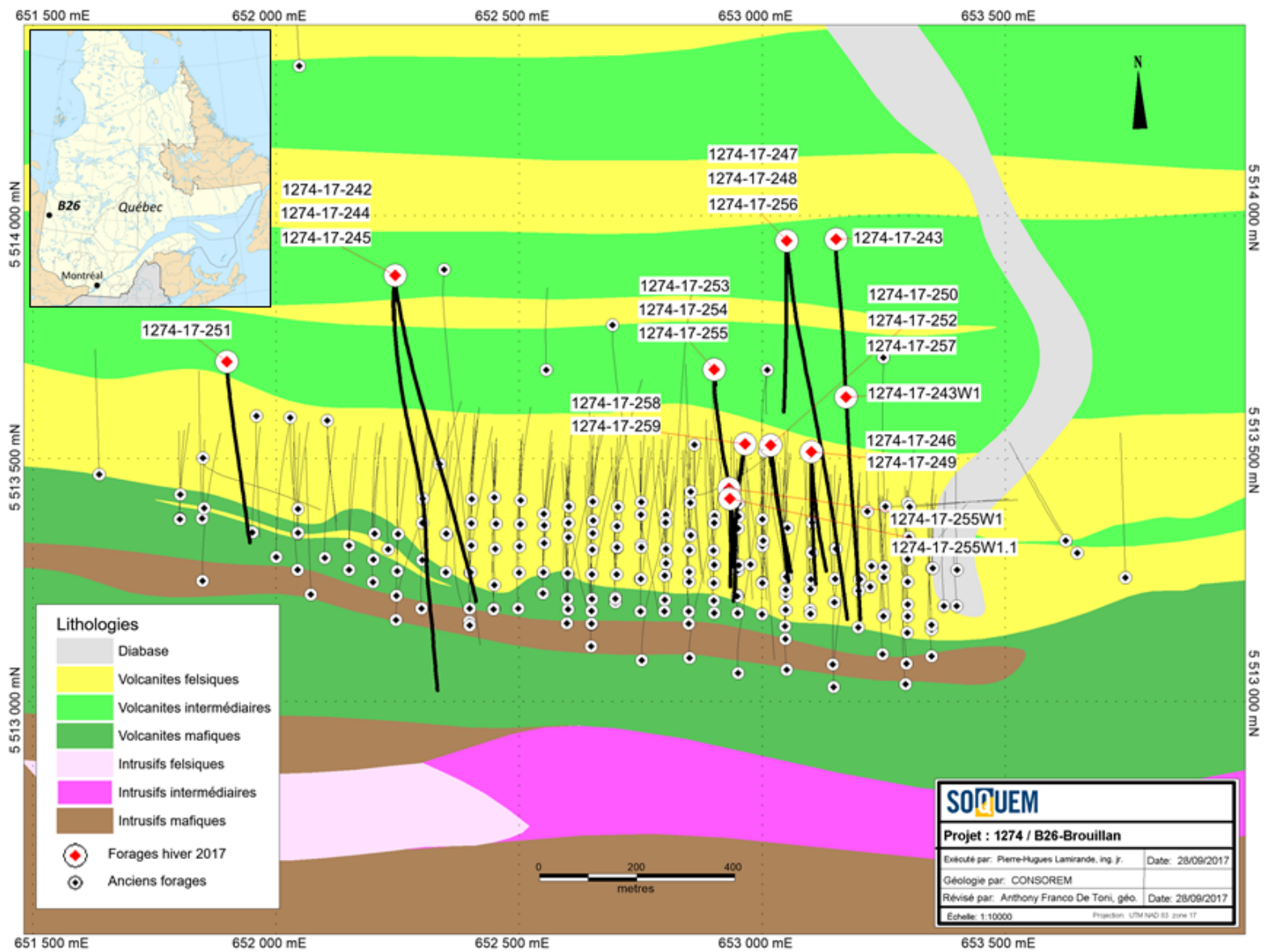
\*\*Teneurs préliminaires non coupées, réanalyses en cours.

No. Sondage	Estant UTM NAD83 Z17	Nordant UTM NAD83 Z17	Élévation	Azimut	Plongée	Longueur (m)
1274-17-242	652245,2	5513876,9	270,5	180	-66	1002
1274-17-243	653152,0	5513951,4	267,2	180	-68	1410
1274-17-243W1*	653172,5	5513626,1	-395,3	179	-57	56
1274-17-244*	652245,2	5513876,9	270,5	188	-72	288
1274-17-245	652245,2	5513876,9	270,5	188	-68	1431
1274-17-246	653101,1	5513513,6	271,5	180	-65	510
1274-17-247*	653050,2	5513948,4	267,8	180	-66	84
1274-17-248	653050,2	5513948,4	267,8	180	-66	1206
1274-17-249	653101,1	5513513,6	271,5	180	-70	639
1274-17-250	653017,2	5513527,0	273,3	175	-54	423
1274-17-251	651898,7	5513699,0	274,5	180	-55	552
1274-17-252	653017,2	5513527,0	273,3	179	-63	522
1274-17-253*	652900,8	5513683,1	272,7	180	-68	79
1274-17-254*	652900,8	5513683,1	272,7	187	-68	57
1274-17-255	652900,8	5513683,1	272,7	187	-68	970
1274-17-255W1	652931,8	5513438,3	-234,4	174	-61	53
1274-17-255W1.1	652933,5	5513417,5	-270,1	178	-58	254
1274-17-256	653050,2	5513948,4	267,8	185	-65	765
1274-17-257*	653017,2	5513527,0	273,3	184	-68	105
1274-17-258*	652965,0	5513529,7	274,2	191	-67	141
1274-17-259	652965,0	5513529,7	274,2	191	-68	562

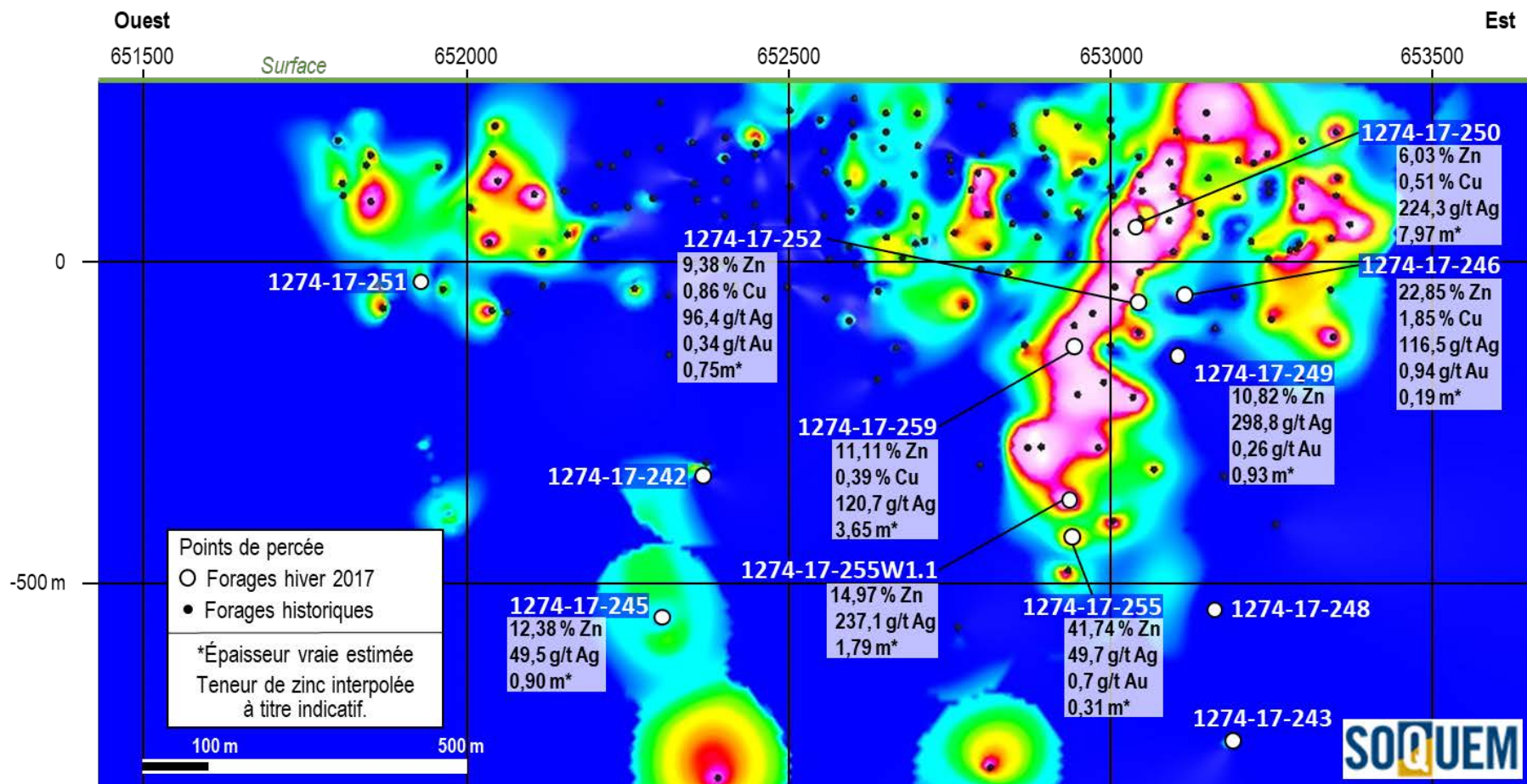
Tableau 2 : Données techniques des forages

\*Trou abandonné

« W » signifie cointage ou « wedge »

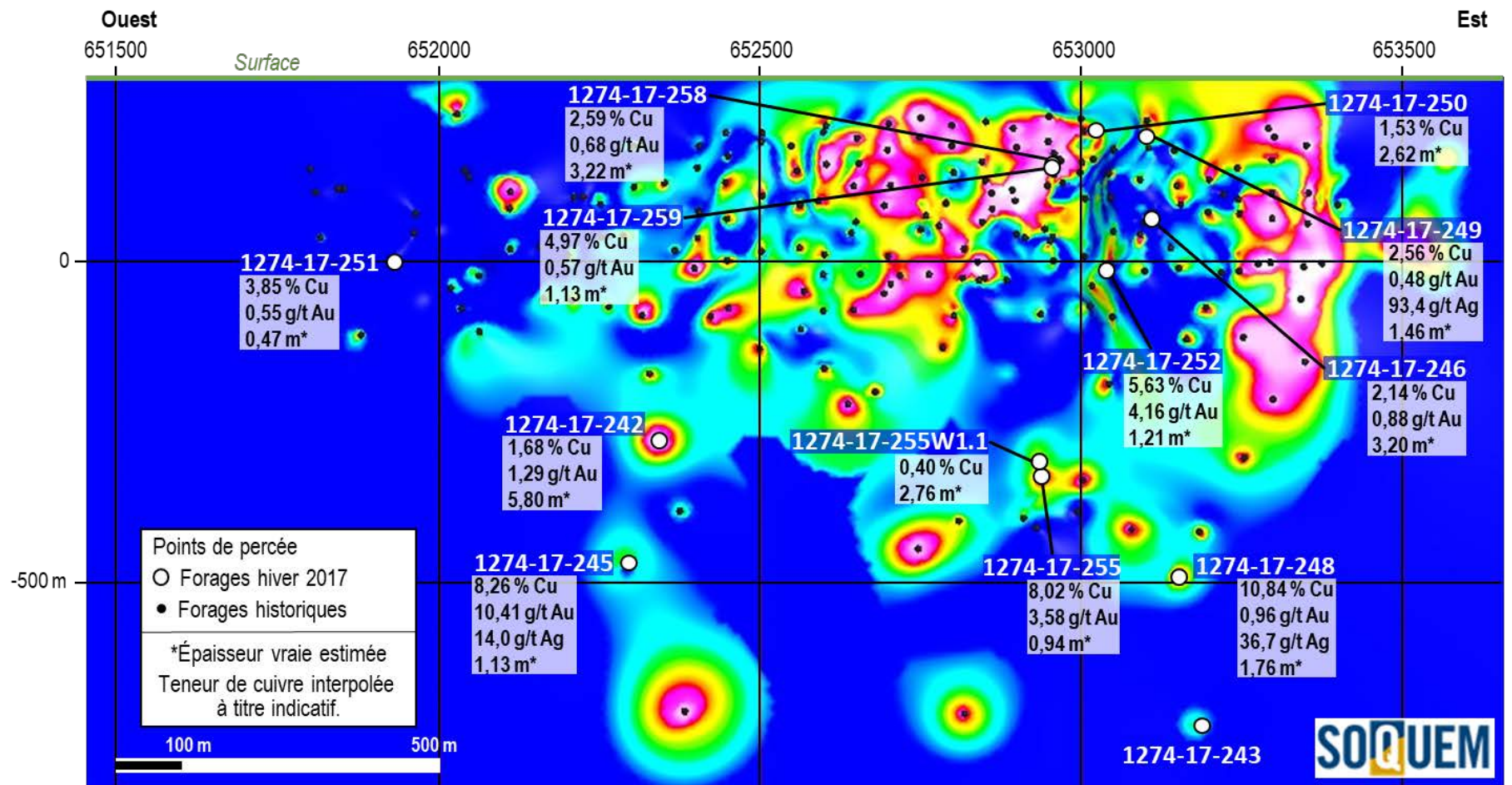


Carte de localisation des forages de la campagne d'hiver 2017, projet B26



Section longitudinale à regard nord, zone zincifère, projet B26





Section longitudinale à regard nord, zone cuprifère, projet B26